

# Diversidad Catalítica en Zeolitas: Influencia del Efecto de Confinamiento en la Adsorción de Ácido Acético y su relación con las Características Topológicas del Catalizador

**Área del Conocimiento: Cs Naturales y Exactas**

**Becario: ROMERO OJEDA, Gonzalo David   Otros autores: GOMES, Glaucio**

**Director: PERUCHENA, Nélida María Co-Director: ZALAZAR, María F.**

**Facultad de Ciencias Exactas y Naturales y Agrimensura**

**E-mail: gonzaloromero37@mailcom**

## Objetivos

En las reacciones de esterificación catalizadas por zeolitas se presenta la adsorción de ácidos carboxílicos como un paso relevante en el mecanismo. El objetivo de este trabajo es estudiar desde el punto de vista de la distribución electrónica el efecto de confinamiento sobre la adsorción de ácido acético en las zeolitas ácidas MFI, BEA, MOR y FAU considerando sus diferencias en relación a su estructura mono-di y tridimensional, e inferir su contribución a la actividad catalítica.

## Materiales y Métodos

### Modelado del catalizador:

En la figura 1 se muestra la estructura de los catalizadores. Se representó con un modelo de agregado 46T (donde T representa átomos tetraédricos de Si y Al) para HMFI (de composición total  $H_{49}O_{68}Si_{45}Al$ ), 52T para HBEA ( $H_{63}O_{73}Si_{51}Al$ ), 70T para HMOR ( $H_{69}O_{114}Si_{69}Al$ ) y 84T para HFAU (de composición total  $H_{73}O_{132}Si_{83}Al$ ).

### Optimizaciones Geométricas y Cálculo de Frecuencias Vibracionales:

**Método:** M06-2X/6-31G(d): donde se relajaron las moléculas orgánicas y el sistema 3T, mientras que el resto del sistema se mantuvo fijo. Programa Gaussian09.

**Estudio de Interacciones:** Análisis topológico de la densidad electrónica  $[\rho(r)]$ . Teoría Cuántica de Átomos en Moléculas, QTAIM. **Método:** M06-2X/6-31++G(d,p). Programa AIMAll

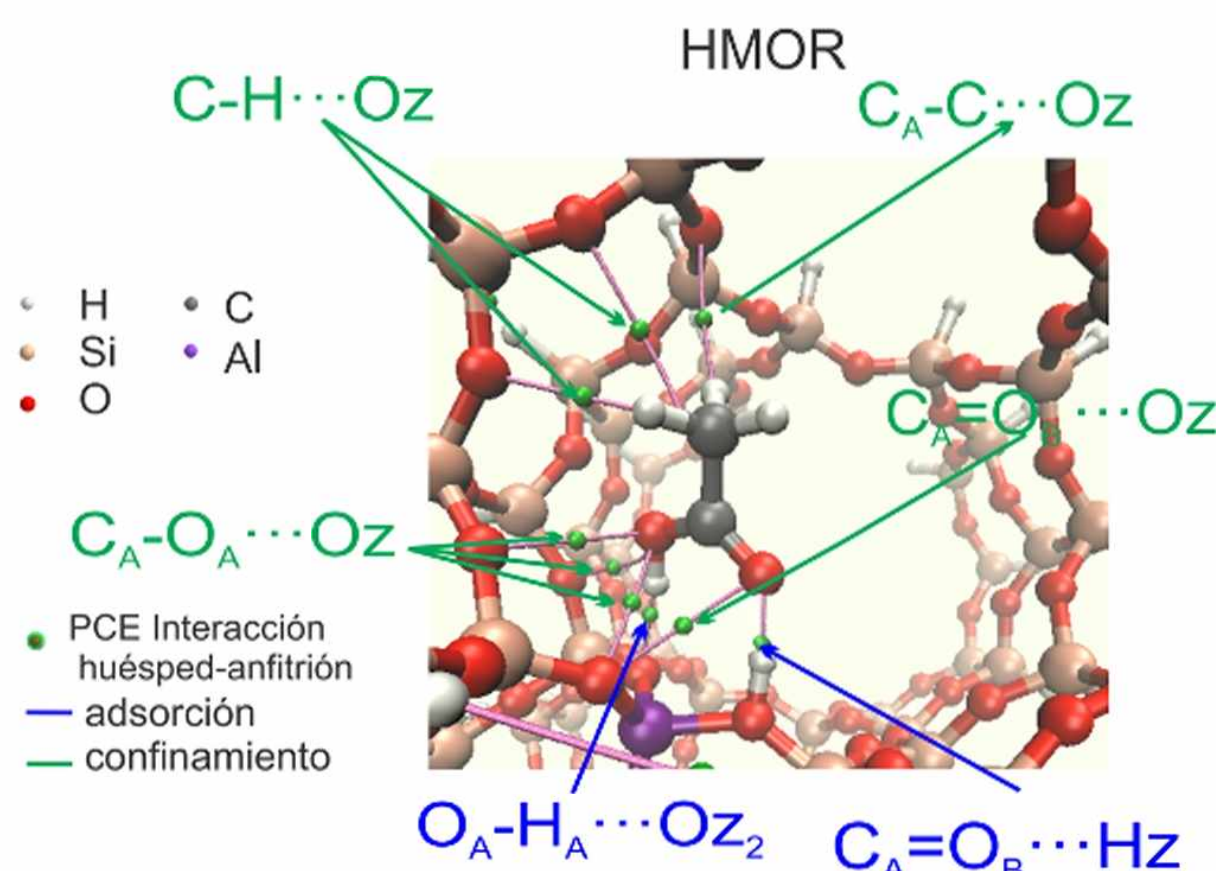
## Resultados y Discusión

La tabla 1 muestra las Energías de adsorción obtenidas. Allí se observa que los valores más bajos de energía de adsorción obtenidos corresponden a la zeolita con cavidad tridimensional más pequeña (HMFI) y a la zeolita monodimensional (HMOR).

La Figura 3 muestra el grafo molecular correspondiente al sistema HMOR en donde se puede apreciar a la molécula orgánica involucrada y los puntos críticos de enlace (PCE) de interés. En la Tabla 2 se muestran las interacciones adsorbato-catalizador y su relación con la adsorción en el sitio activo y el efecto de confinamiento en términos de la Densidad Electrónica.

**FIG 3.** Grafo molecular de la densidad electrónica  $\rho(r)$  para el complejo adsorbido HMOR. Para mayor claridad, se han omitido los átomos de H terminales del agregado zeolítico.

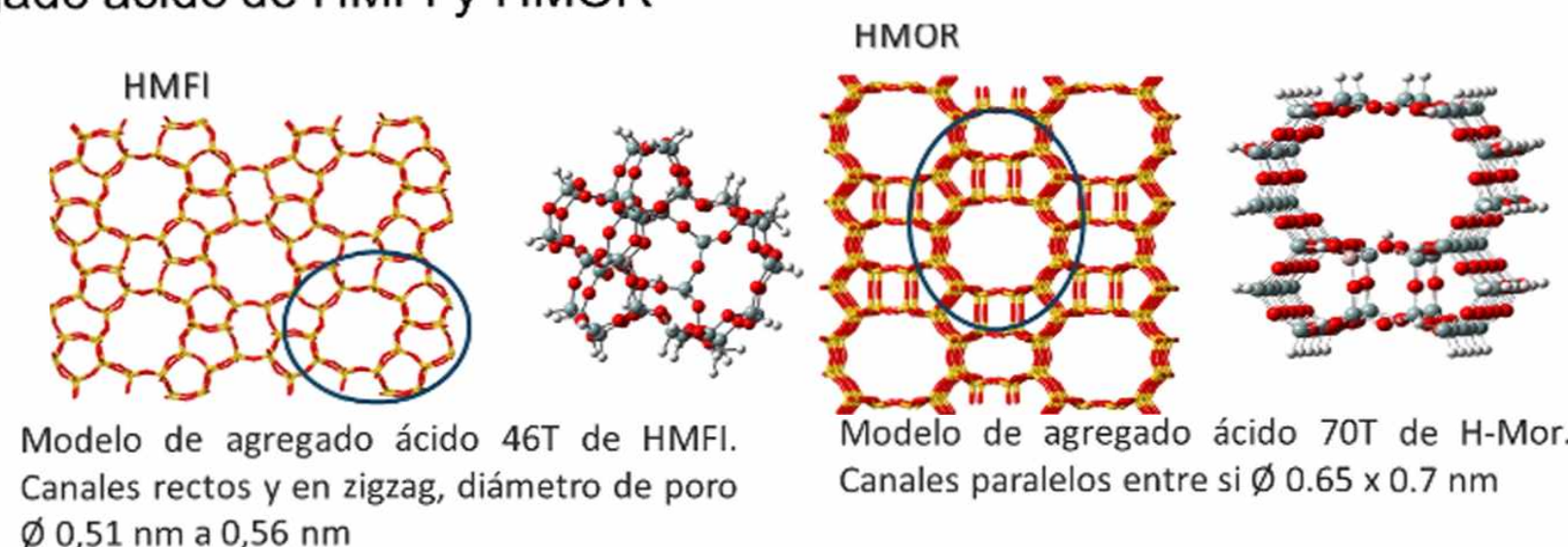
Los cálculos revelaron que la contribución de las interacciones principales ( $[C_A=O_B\cdots O_z]$  y  $[O_A-H_A\cdots O_{z2}]$ ) a la energía de adsorción es más importante en las zeolitas tridimensionales de mayor tamaño de poro y cavidad. Por otro lado, en zeolitas monodimensionales (HMOR) y aquellas tridimensionales con cavidades más pequeñas (HMF1) la estructura de la zeolita permite una ubicación de la molécula huésped que favorece la



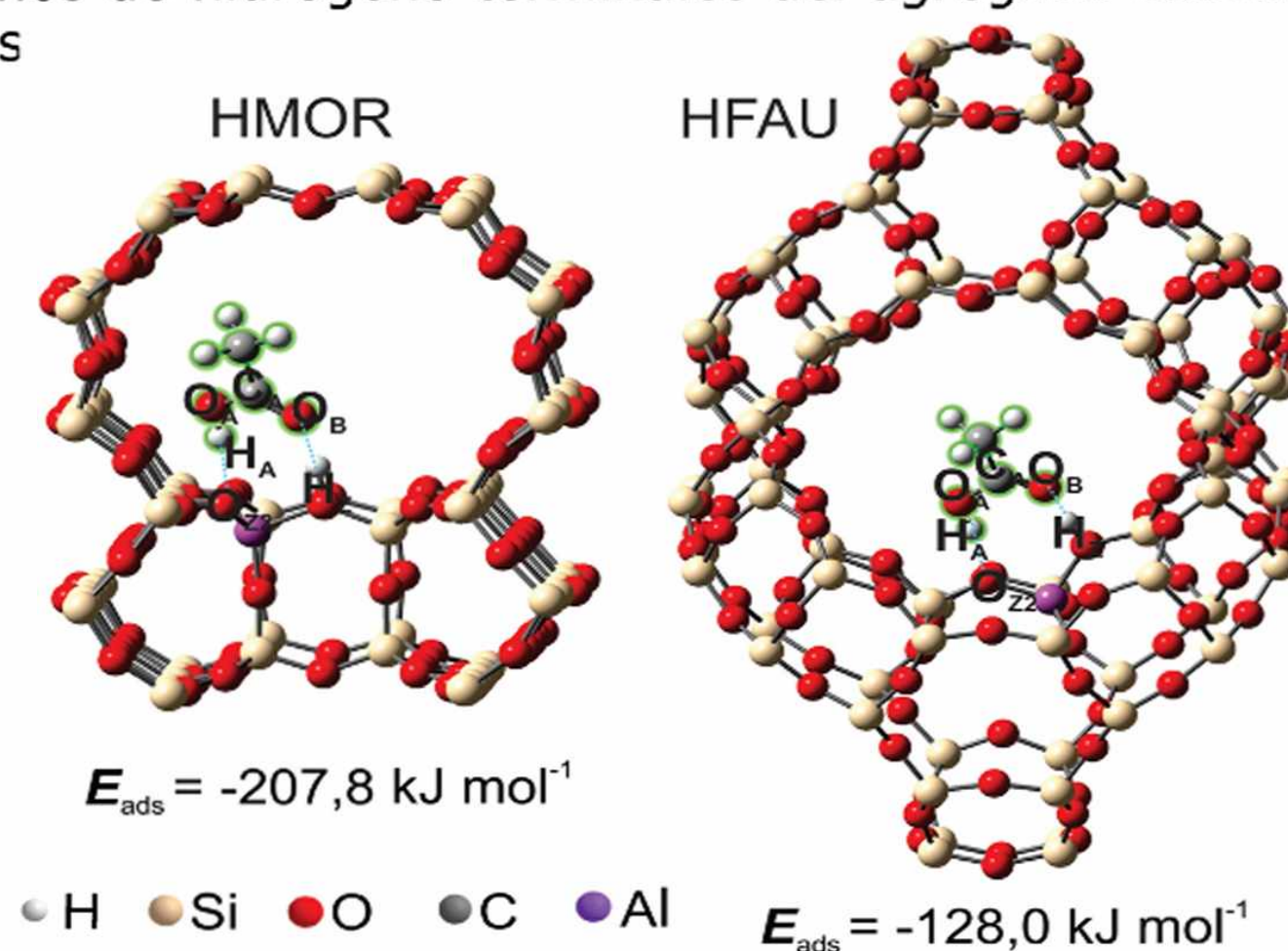
presencia de una mayor cantidad de interacciones débiles adsorbato-catalizador. Estas interacciones contribuyen en mayor medida a la energía de adsorción de estos complejos confiriéndole así una mayor estabilidad en relación a HBEA y HFAU.

**Se concluye así que el efecto de confinamiento en zeolitas está relacionado con la estructura mono, y tridimensional del catalizador que permite estabilizar al adsorbato en su interior.**

**FIG 1:** Estructuras tomadas de la Base de Datos de Zeolitas y modelo de agregado ácido de HMFI y HMOR



**FIG 2:** Estructuras más estables encontradas para la adsorción de ácido acético en el sitio ácido de Brønsted sobre HMOR y HFAU a través del grupo carbonílico. Para lograr una mejor visualización, los átomos de hidrógeno terminales del agregado zeolítico fueron omitidos



**TABLA 1** Energías de Adsorción calculadas a nivel M06-2X/6-31G(D) en KJ/mol.

	HMFI	HBEA	HMOR	HFAU
Ads_AA(C=O)	-147,22	-131,20	-207,82	-127,98
Ads_AA(OH)	-81,24	-82,92	-147,62	-82,62

**TABLA 2.** Longitud de enlace (angstroms), interacciones adsorbato-catalizador y su relación con la adsorción en el sitio activo y el efecto de confinamiento en términos de la Densidad Electrónica.

	Interacción	n	dx···y	HMFI	$\Sigma\rho(r)$	%	n	dx···y	HMOR	$\Sigma\rho(r)$	%
				$\rho(r)$					$\rho(r)$		
<u>adsorción</u> - <u>confinamiento</u>	C <sub>A</sub> =O <sub>B</sub> ···Hz	1	1.46	0.0828	0.0828	46.1	1	1.47	0.0776	0.0776	49.1
	O <sub>A</sub> -H <sub>A</sub> ···Oz <sub>2</sub>	1	1.79	0.0344	0.0344	19.2	1	1.88	0.0294	0.0294	18.6
	C-H···Oz	3	2.68	0.0062	0.0150	8.3	2	2.59	0.0078	0.0099	6.3
			2.75	0.0053				3.24	0.0021		
			2.95	0.0035							
	C <sub>A</sub> -O <sub>A</sub> ···Oz	3	2.81	0.0130	0.0257	14.3	3	2.79	0.0127	0.0292	18.5
			3.06	0.0078				3.07	0.0086		
			3.26	0.0049				3.08	0.0079		
	C <sub>A</sub> =O <sub>B</sub> ···Oz	3	2.95	0.0097	0.0195	10.9	1	3.06	0.0083	0.0083	5.3
			3.13	0.0068							
			3.50	0.0030							
	C <sub>A</sub> -C···Oz	1	3.83	0.0021	0.0021	1.2	1	3.60	0.0037	0.0037	2.3
				HBEA					HFAU		
		n	dx···y	$\rho(r)$	$\Sigma\rho(r)$	%	n	dx···y	$\rho(r)$	$\Sigma\rho(r)$	%
<u>Adsorción</u> - <u>Confinamiento</u>	C <sub>A</sub> =O <sub>B</sub> ···Hz	1	1.30	0.1243	0.1243	70.4	1	1.41	0.0934	0.0934	69.1
	O <sub>A</sub> -H <sub>A</sub> ···Oz <sub>2</sub>	1	1.67	0.0469	0.0469	26.6	1	1.72	0.0403	0.0403	29.8
	C-H···Oz	3	2.81	0.0006	0.0054	3.1	5	3.85	0.0004	0.0014	1.0
			3.64	0.0006				4.11	0.0003		
			3.77	0.0042				4.23	0.0003		
								4.23	0.0002		
								4.30	0.0002		